

ارزیابی خواص الکتروکاتالیتیکی آلیاژ Pb-2Sn-0.08Ca در محلول اسید سولفوریک

سعید رضا ا... کرم

استادیار گروه مهندسی متالورژی و مواد - دانشکده فنی - دانشگاه تهران

محمود پارسا

فارغ التحصیل کارشناسی ارشد گروه مهندسی متالورژی و مواد - دانشکده فنی - دانشگاه تهران

(تاریخ دریافت ۸۰/۷/۱۴ ، تاریخ دریافت روایت اصلاح شده ۸۲/۸/۳ ، تاریخ تصویب ۸۳/۳/۲)

چکیده

در طی تحقیقات قبلی ترکیب آلیاژی $Pb-2Sn-0.08Ca$ بعنوان ترکیب بهینه از آلیاژ سرب-قلع-کلسیم از نظر خواص مکانیکی و مقاومت در برابر خوردگی جهت ساخت الکترودهای آند در فرآیند الکترووینینگ مس بدست آمد. در این تحقیق به منظور بررسی ویژگیهای الکتروکاتالیتیکی ترکیب آلیاژی فوق، واکنشهایی که در محدوده معین دانسته جریان اعمالی تحت شرایط الکترووینینگ روی سطح الکترود آند سربی صورت می‌گیرد و نیز مطالعه سینتیک و قابلیت برگشت‌پذیری این فرآیندهای اکسیداسیون - احیا، همچنین میزان تأثیر حضور کاتیونهای کبالت (Co^{2+}) در الکترولیت روی کاهش اورپتانسیل واکنش آندی تجزیه آب از تکنیک ولتاکتری سیکلی (یک الی هفت سیکل) در محدوده پتانسیل اعمالی ۱۳۰۰ - الی ۲۶۰۰ میلیولت نسبت به الکترود مرتع کالومل (SCE) و تحت سرعتهای روش متغیر استفاده شد. ترکیب فازی لایه‌های اکسید روی سطح الکترود سربی در محلول H_2SO_4 ۱۸.۰ g/l در محدوده‌های مختلف پتانسیل آندی اعمالی توسط آنالیز XRD تعیین گردید.

نتایج نشان می‌دهند که همزمان با تشکیل لایه‌های متخلخل سولفات و کمپلکس‌های اکسی-سولفات سرب II روی سطح الکترود سربی مقاومت الکتریکی سطح الکترود به شدت افزایش می‌یابد، در حالیکه فیلم فشرده اکسید سرب IV (PbO_2) که در پتانسیل‌های بالاتر از ۱/۴ ولت نسبت به الکترود مرتع کالومل تشکیل می‌شود ضمن دارا بودن خواص الکتروکاتالیتیکی خوب از هدایت الکتریکی بالایی نیز برخوردار می‌باشد. علاوه بر این فیلم مذکور عامل اصلی محافظت از زمینه سربی الکترود آند در برابر خوردگی و اکسیداسیون به شمار می‌رود. همچنین بررسیها نشان می‌دهد که فرآیند اکسیداسیون منجر به تشکیل این فیلم محافظت نسبت به فرآیند احیا منجر به تخریب فیلم مذکور از نظر سینتیکی بسیار کندر صورت می‌گیرد و در حضور کاتیونهای کبالت (Co^{2+}) با غلظت ۱۰۰ ppm اورپتانسیل واکنش آندی تجزیه آب به میزان بیش از ۲۰۰ mV کاهش می‌یابد.

واژه‌های کلیدی : آلیاژهای سرب، خوردگی، خواص مکانیکی، الکترووینینگ مس، پروسه اکسیداسیون احیا، ولتاکتری، اورولتاژ

مقدمه

که در آن فرآیندهای مختلف اکسیداسیون - احیا می‌توانند بسرعت صورت پذیرند. در بررسی‌های کیفی که اصولاً قبل از پرداختن به جنبه‌های کمی صورت می‌گیرند. ولتاگرام‌های سیکلی که در سرعتهای مختلف روش پتانسیل و نیز در گستره وسیعی از پتانسیل رسم می‌شوند. معمولاً پیک‌های متعددی در ولتاگرام‌ها ظاهر می‌شوند که با مشاهده چگونگی پیدایش و زوال این پیک‌ها به هنگام محدودتر شدن گستره پتانسیل و تغییر سرعت روش و نیز با توجه به اختلافهای موجود بین

طی دو دهه اخیر تکینک‌های مبتنی بر روش پتانسیل نظیر ولتاکتری سیکلی در گستره وسیعی از فرآیندهای الکتروشیمیایی به منظور تعیین پارامترهای سینتیکی و شناسایی ترکیبات میانی در جهت بررسی و شناسایی مکانیسم فرآیندهای اکسیداسیون - احیا بکار گرفته می‌شوند. ولتاکتری سیکلی احتمالاً مفیدترین شیوه برای مطالعه مکانیسم واکنش‌های اکسیداسیون - احیا براساس روش‌های روش پتانسیل می‌باشد. یک سیکل پتانسیل الکتروشیمیایی نشان‌دهنده پتانسیل‌هایی است

گرادیان پتانسیل و pH در عرض فیلم اکسید ناشی از خوردگی روی سطح الکترود سربی می‌باشد. بطوریکه افزایش pH بصورت موضعی در زیر رسوبات سطحی شرایط را برای تشکیل سولفات‌های بازی سرب مساعد می‌نماید [۶، ۵]. در شکل‌های (۱) و (۲) دیاگرام پتانسیل - pH مربوط به سیستم Pb-H₂O-H₂SO₄ در دو حالت با اکتیویته مختلف یونهای سولفات، بصورت شماتیک نمایش داده شده است و در شکل‌های (۳) و (۴) ایجاد گرادیان پتانسیل و pH در عرض لایه چند فازی سطحی و نیز ترکیبات مختلف سرب که تحت شرایط اخیر از نظر پتانسیل و pH تشکیل می‌شوند نشان داده شده است.

در این قسمت از تحقیق پس از بدست آوردن ترکیب بهینه از آلیاز سرب - قلع - کلسیم (Pb-2Sn-0.08Ca) از نظر خواص مکانیکی و مقاومت در برابر خوردگی بعنوان الکترود آند در فرآیند الکترووینینگ مس به منظور بررسی ویژگیهای الکتروکاتالیتیکی الکترود آند سربی، همچنین واکنشهایی که در محدوده معین جریان اعمالی تحت شرایط الکترووینینگ روی سطح الکترود آند سربی صورت می‌پذیرند و نیز مطالعه سینتیک و قابلیت برگشت‌پذیری این فرآیندهای اکسیداسیون- احیا و نیز میزان تأثیر حضور کاتیونهای کبالت (Co²⁺) در الکترولیت روی میزان کاهش اورپتانسیل واکنش آندی تجزیه آب از تکنیک ولتاویری سیکلی در محدوده پتانسیل -۱۳۰۰- ۲۶۰۰ میلی ولت، تحت سرعتهای روش متفاوت استفاده شده است.

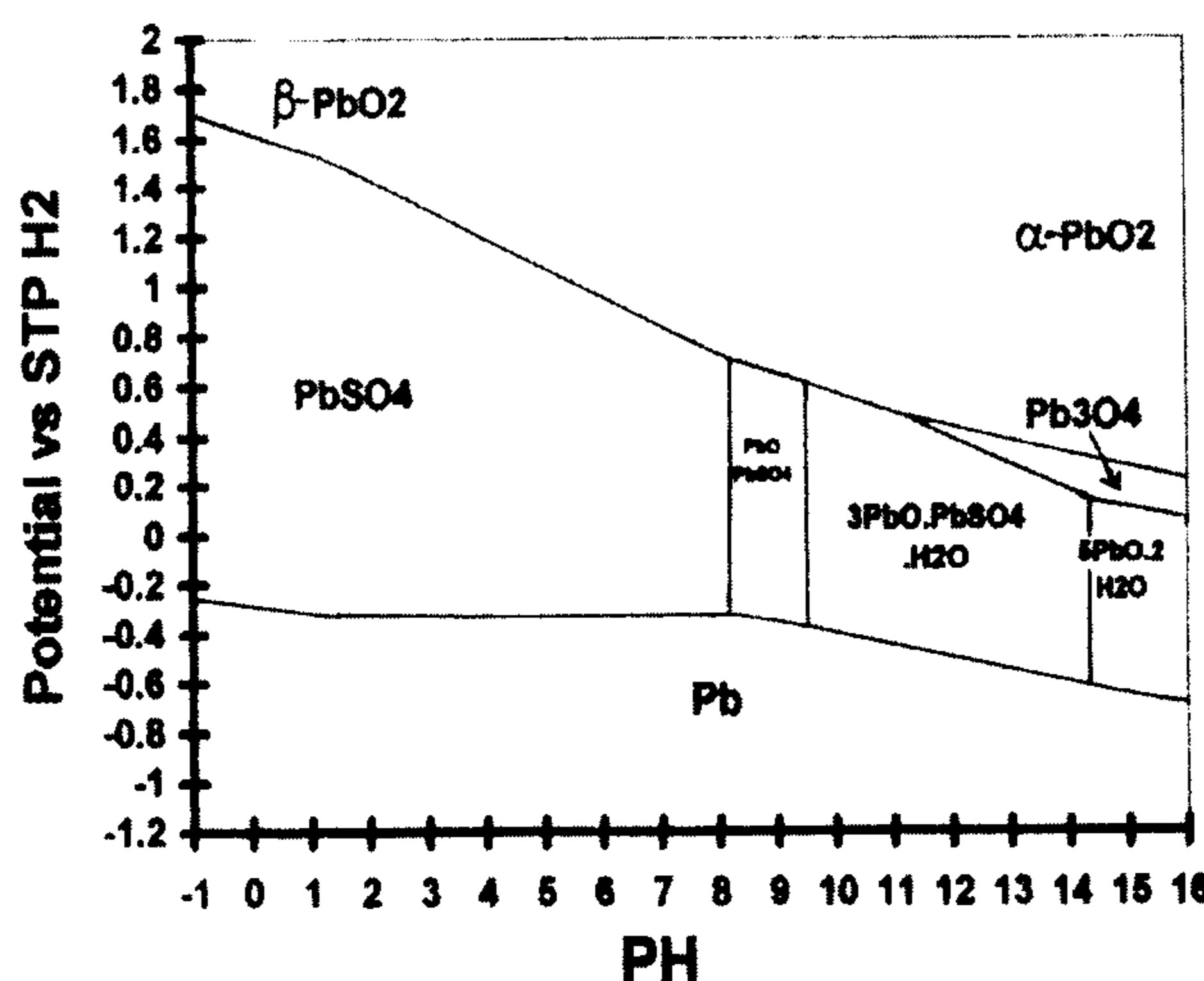
روش تحقیق

آزمایش‌های ولتاویری سیکلی در محدوده پتانسیل اعمالی -۱۳۰۰- الی ۲۶۰۰ میلی ولت نسبت به الکترود مرجع کالومل (SCE)، تحت سرعتهای روش متفاوت و در گستره ۱ الی ۷ سیکل انجام شد. از یک بشر آزمایشگاهی (500°C) بعنوان سل آزمایش و محلول ۱۸۰ g/l اسید سولفوریک بعنوان الکترولیت استفاده گردید. به منظور هوازدایی محلول در حین آزمایش‌ها از گاز نیتروژن خالص و جهت جلوگیری از ایجاد گرادیان غلظت در الکترولیت یک همزن مغناطیسی بکار گرفته شد و دمای الکترولیت در طول زمان آزمایش در محدود

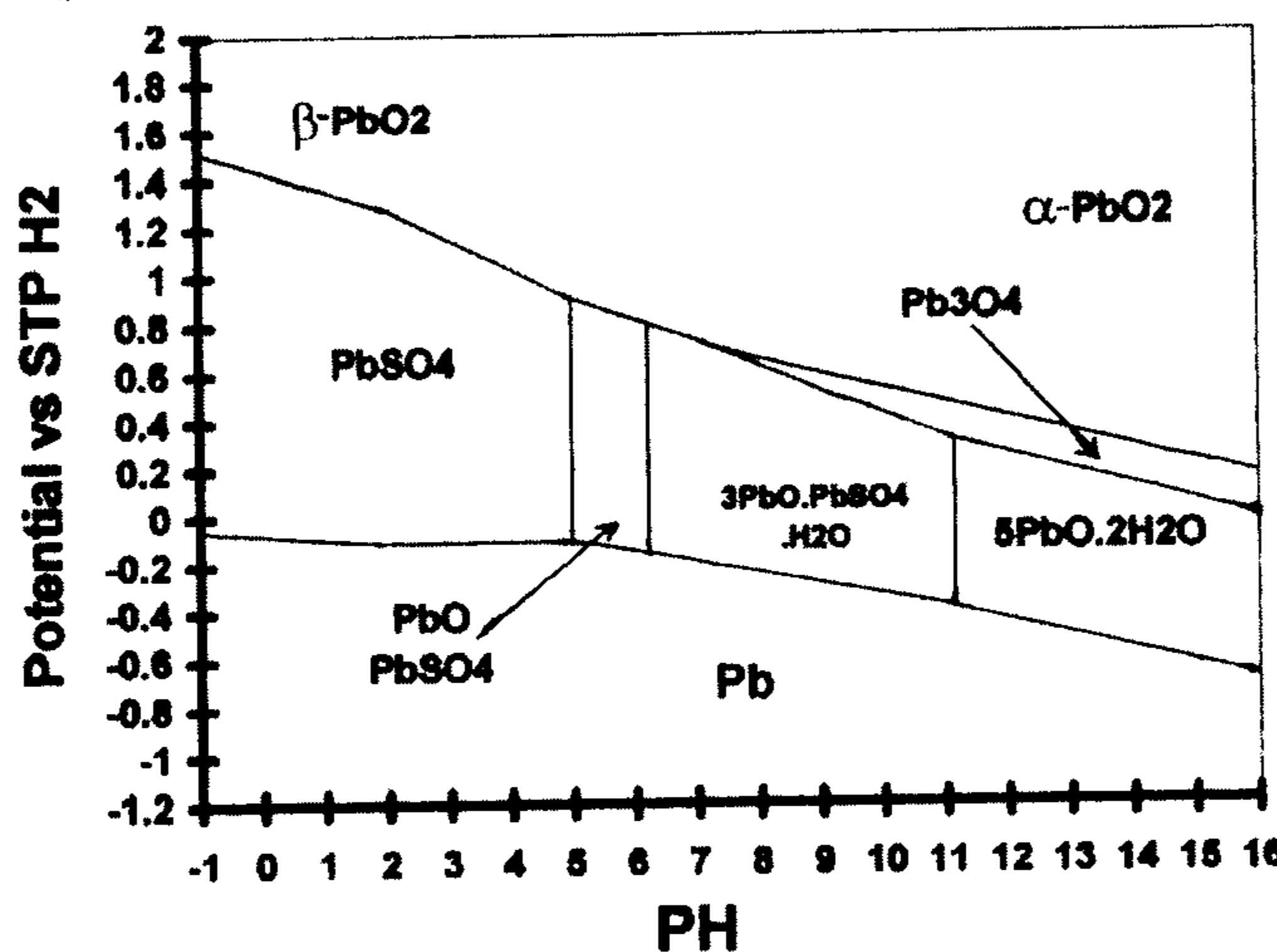
سیکل اول و سیکلهای بعدی چگونگی ارتباط بین فرآیندهای الکتروشیمیایی امکان‌پذیر می‌شود. اگر چه با بررسی اختلاف بین سیکل اول و سیکلهای بعدی در منحنی‌های ولتاویری سیکلی غالباً اطلاعات مفیدی از مکانیسم واکنش‌ها بدست می‌آید. ولی باید تأکید گردد که داده‌های دقیق سینتیکی را فقط می‌توان از تحلیل روش مربوط به سیکل اول بدست آورد [۲، ۱].

استفاده از آلیازهای سرب بعنوان الکترود آند نامحلول در فرآیند الکترووینینگ بسیار متداول است. الکترودهای آند ساخته شده از آلیاز سه‌تایی سرب- قلع- کلسیم که به عنوان جایگاه انجام واکنش آندی در فرآیند الکترووینینگ مس مورد استفاده قرار می‌گیرند، به دلایل مختلف شیمیایی، الکتروشیمیایی و متالورژیکی دچار خوردگی می‌شوند. بطوریکه نرخ خوردگی در شرایط قطع و وصل دانسته جریان اعمالی افزایش می‌یابد. این موضوع با توجه به شرایط تشکیل و تخریب لایه‌های اکسید محافظ سطحی توجیه پذیر می‌باشد [۳]. تحت شرایط الکترووینینگ عامل اصلی محافظت از الکترود آند سربی در برابر خوردگی تشکیل فیلم محافظ $\beta\text{-PbO}_2$ می‌باشد که این فیلم در مجاورت محلول اسیدی و اعمال دانسته جریان آندی تشکیل می‌گردد. بنابراین بررسی و مطالعه شرایط تشکیل و ناپایدار شدن فیلم محافظ سطحی و نیز سینتیک فرآیندهای اکسیداسیون- احیا منجر به این فعل و انفعالات روی نرخ خوردگی و اکسیداسیون الکترود آند سربی بسیار مهم و تعیین کننده می‌باشد. همچنین استفاده از عناصر دارای خاصیت الکتروکاتالیتیکی بالا در جهت تسريع واکنش آندی تصعید اکسید و کاهش اورپتانسیل مربوط به این واکنش، نقش به سزاوی در بهبود رفتار خوردگی الکترود آند سربی و کاهش انرژی الکتریکی مصرفی ایفا می‌نماید.

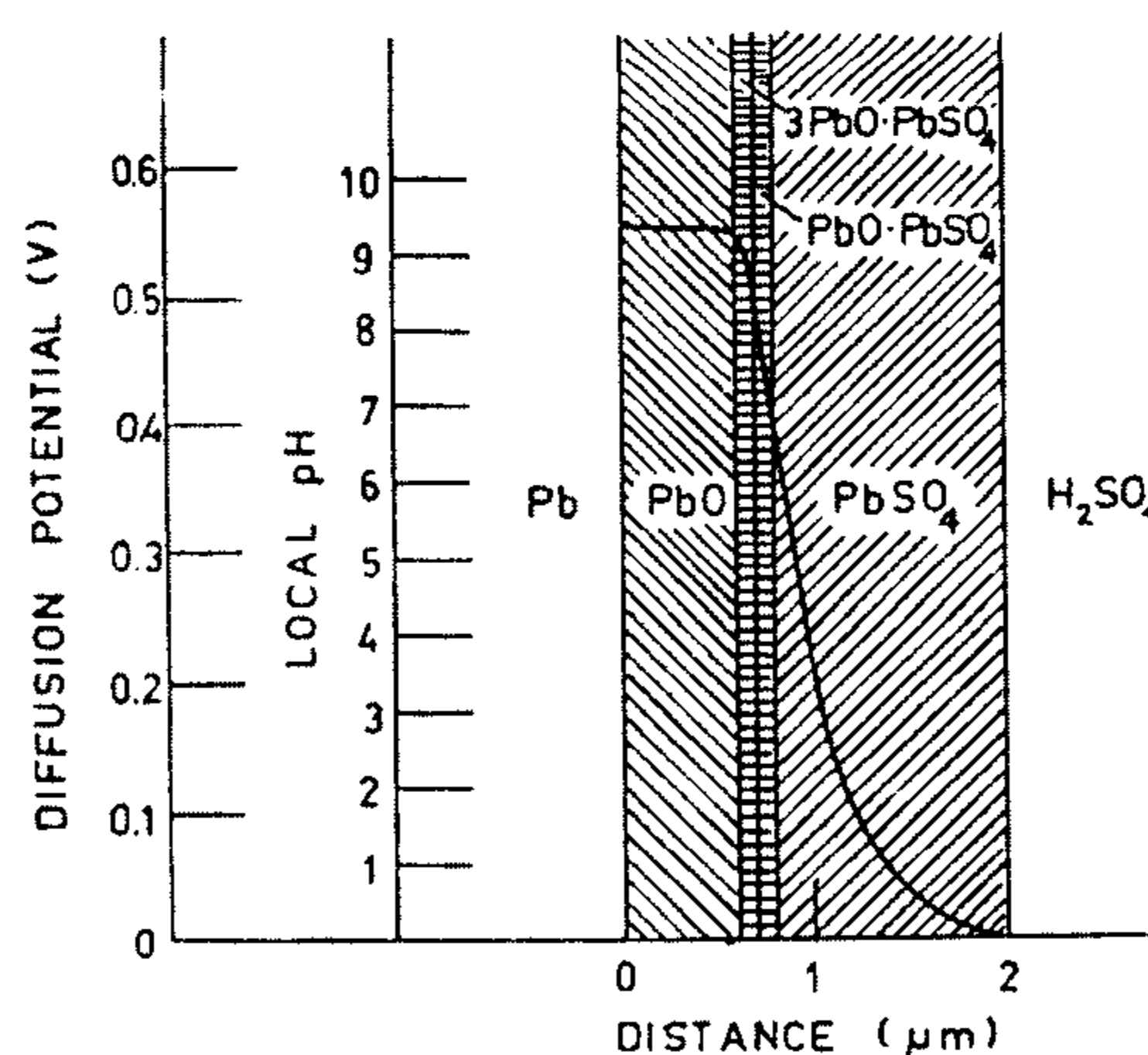
تحقیقات صورت گرفته نشان می‌دهد که رسوب سولفات سرب ضمن متخلف بودن از مقاومت الکتریکی بسیار بالایی نیز برخوردار می‌باشد [۴]. همچنین تشکیل محصولات اکسیداسیون سرب II (سولفات و کمپلکس‌های اکسی- سولفات سرب II) روی سطح الکترود سربی بصورت یک غشاء نیمه تراوا در مقابل یونهای بزرگ سولفات نفوذناپذیر می‌باشد. در حالیکه یونهای کوچک H⁺ و O²⁻ از آن خیلی راحت عبور می‌نمایند [۵]. نتیجه این رفتار لایه اکسیدی، تشکیل



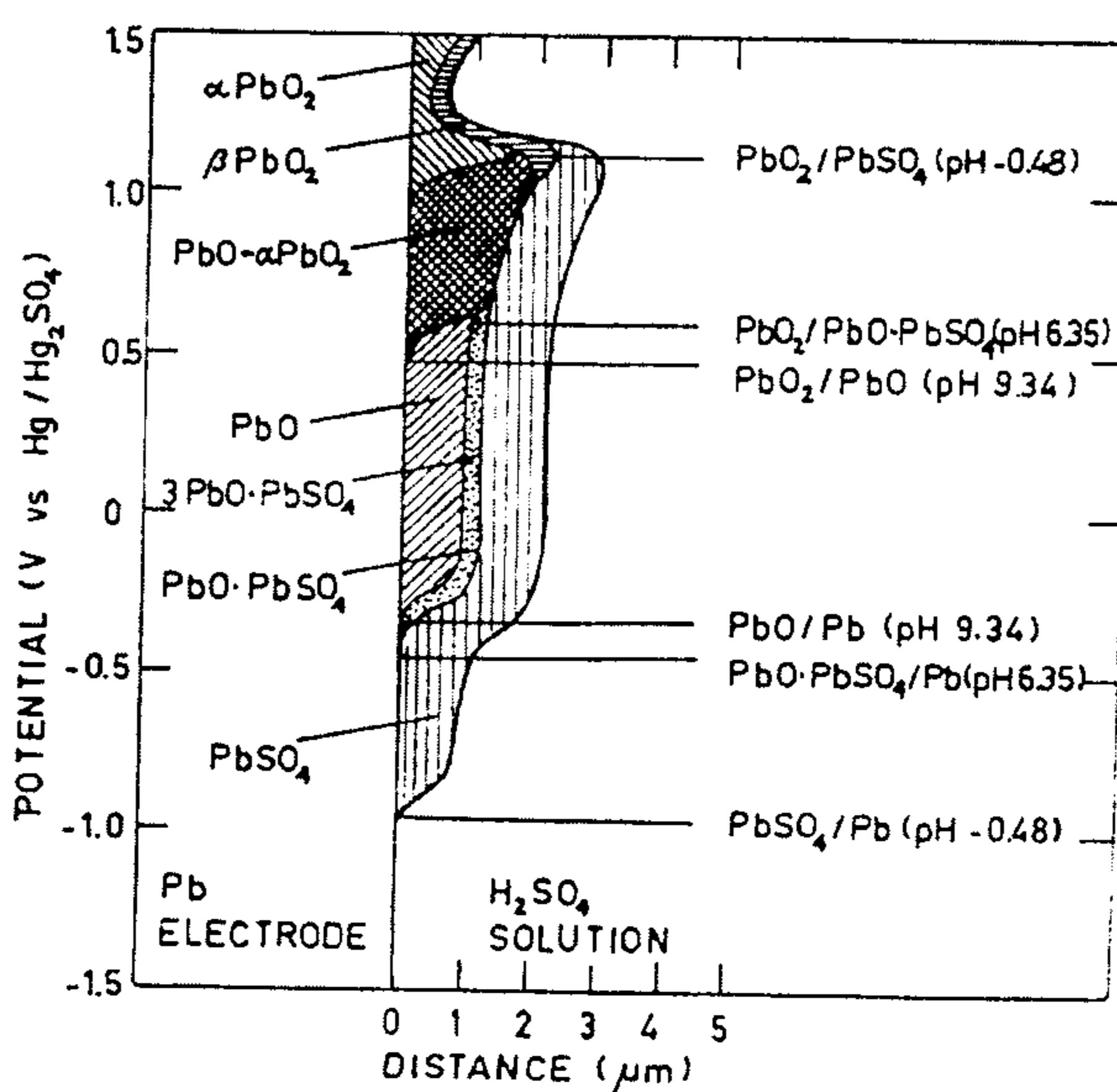
شکل ۱: دیاگرام پتانسیل - pH از سیستم $\text{Pb}-\text{H}_2\text{O}-\text{H}_2\text{SO}_4$ در حالت $a_{\text{HSO}_4^-} + a_{\text{SO}_4^{2-}} = 1$.



شکل ۲: دیاگرام پتانسیل - pH سیستم $\text{Pb}-\text{H}_2\text{O}-\text{H}_2\text{SO}_4$ در حالت $a_{\text{HSO}_4^-} + a_{\text{SO}_4^{2-}} = 10^{-7}$.



شکل ۳: نمایش شماتیک از نفوذ پتانسیل و pH در عرض یک لایه چند فازی ناشی از خودگشی روی سطح الکترود سربی [۷].



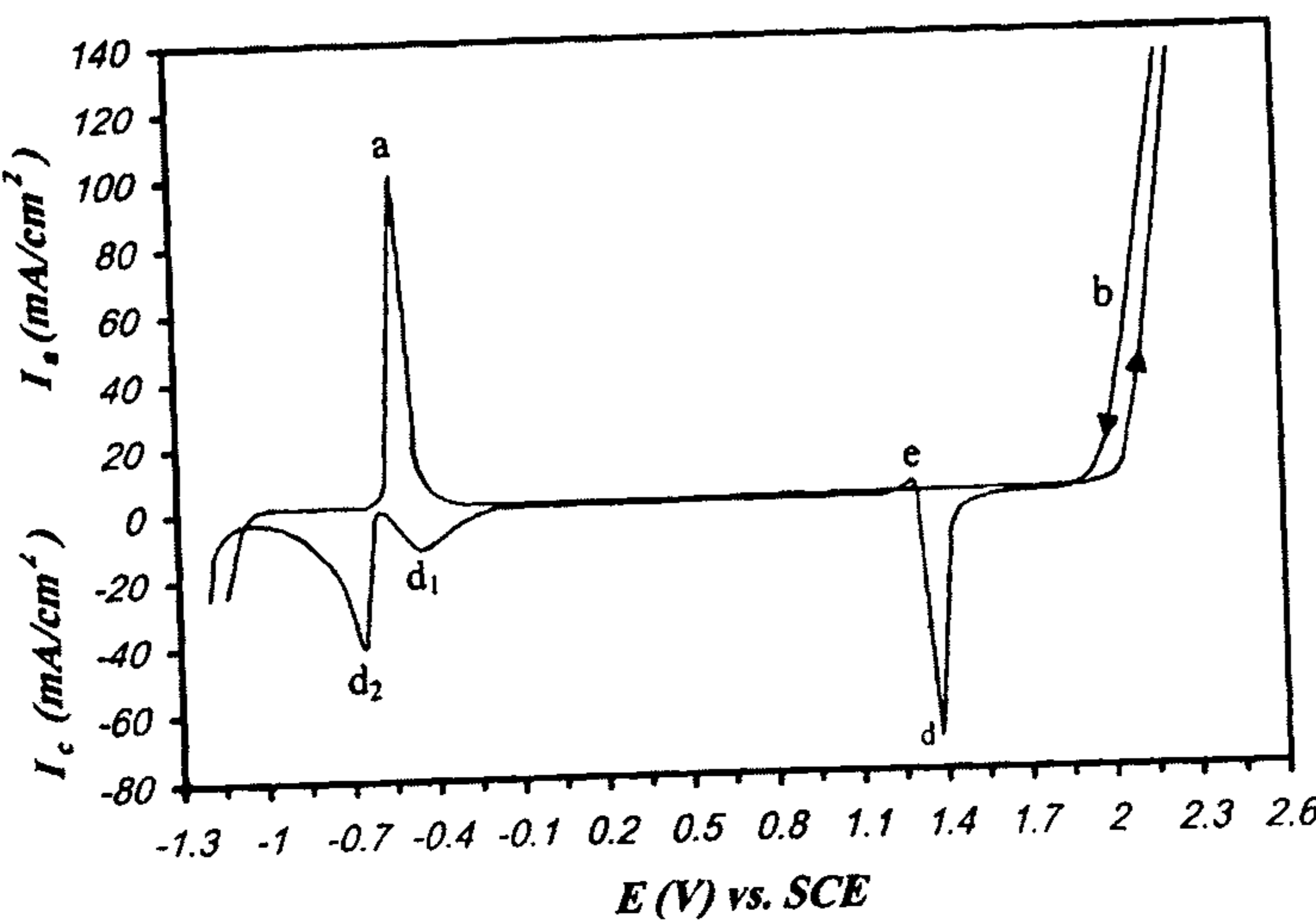
شکل ۴: نمایش شماتیک از ترکیب لایه‌ها از خوردگی روی سطح الکترود سربی بر حسب پتانسیل (لایه‌ها طی مدت ۲۴ ساعت و تحت پتانسیل ثابت در محلول $4.2\text{MH}_2\text{SO}_4$ تشکیل شده‌اند) [۷].

نتایج و بحث

در شکل (۵) ولتاگرام (سیکل اول) الکترود سربی در محلول 18g/l اسیدسولفوریک و محدوده پتانسیل اعمالی 1300 - 2600 میلی ولت (نسبت به الکترود مرجع SCE) با سرعت روش پتانسیل برابر 10mV/s ارائه شده است. همچنین در جدول (۱) نتایج مربوط به آنالیز ترکیب شیمیایی فازهای مختلف مربوط به اکسیدهای موجود روی سطح الکترود سربی بر حسب اکسیدهای محدوده پتانسیل اعمالی آورده شده است. همانطور که ملاحظه می‌شود اولین پیک اکسیداسیون (a) در پتانسیل حدود 480 - 500 میلی ولت ظاهر می‌شود که نشان دهنده اکسیداسیون سرب فلزی بصورت Pb^{2+} و متعاقب آن تشکیل سولفات سرب (PbSO_4) بر روی سطح الکترود می‌باشد. به دلیل مقاومت الکتریکی بالای رسوب سولفات سرب و دیگر محصولات خوردگی سرب II با افزایش بیشتر پتانسیل اعمالی دانسیته جریان در حد صفر میلی‌آمپر باقی می‌ماند تا اینکه در پتانسیلهای آندی بیشتر از 2 ولت دومین پیک اکسیداسیون (b) که بیانگر تشکیل اکسیدهای سرب IV (PbO_2) می‌باشد، ظاهر می‌گردد. تقریباً همزمان با ظهور این پیک واکنش آندی تجزیه آب و تصحیح حبابهای گاز اکسیژن از سطح الکترود شروع می‌شود که با افزایش بیشتر پتانسیل اعمالی،

40 ± 2 درجه سانتیگراد کنترل گردید. از الکترود پلاتین بعنوان الکترود کمکی و الکترود کالومل بعنوان الکترود مرجع و تیغه‌های ساخته شده از آلیاژ $\text{Pb}-2\text{Sn}-0.08\text{Ca}$ با ضخامت 3 میلی‌متر و سطح در معرض الکتروولیت برابر 1cm^2 بعنوان الکترود کار مورد استفاده قرار گرفت. قبل از شروع هر آزمایش الکترودهای کار بصورت مکانیکی تا شماره ۱۵۰۰ SiC پرداخت سطحی می‌شدند و سپس در سل آزمایش تحت دانسیته جریان کاتدی برابر 300mA/cm^2 به مدت دو دقیقه پلاریزه می‌گردیدند. جهت تعیین ترکیب فازی لایه‌های اکسید روی سطح الکترود در محدوده‌های مختلف پتانسیل اعمالی از دستگاه آنالیز تفرق اشعه ایکس (X-Ray) دستگاه استفاده گردید و برای آزمایش‌های ولتا مترا سیکلی از یک دستگاه پتانسیوستات- گالوانو استات همراه با دستگاه‌های جانبی استفاده شد. همچنین به منظور رسم ولتاگرامها (منحنی پتانسیل- جریان) از یک رسام متصل به دستگاه اصلی استفاده گردید که مشخصات دستگاه‌های استفاده شده در آزمایش‌های ولتا مترا سیکلی بشرح زیر می‌باشد.

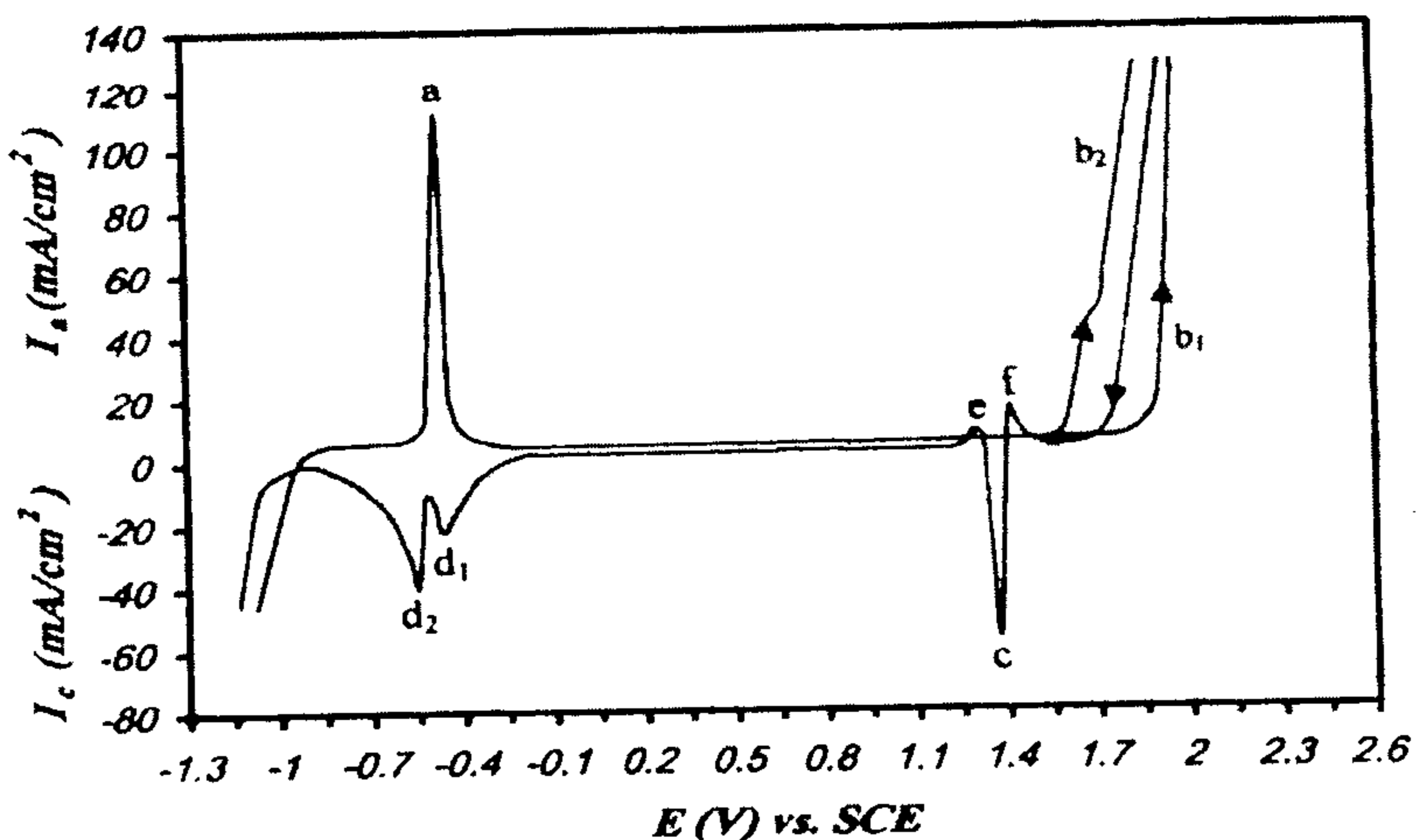
1. AMEL Model 568, Programmable Function Generator
2. AMEL Model 553, Potentiostat/ Galvanostat
3. AMEL Model 560/Log, Interface
4. AMEL Model 863, Digital XY Recorder



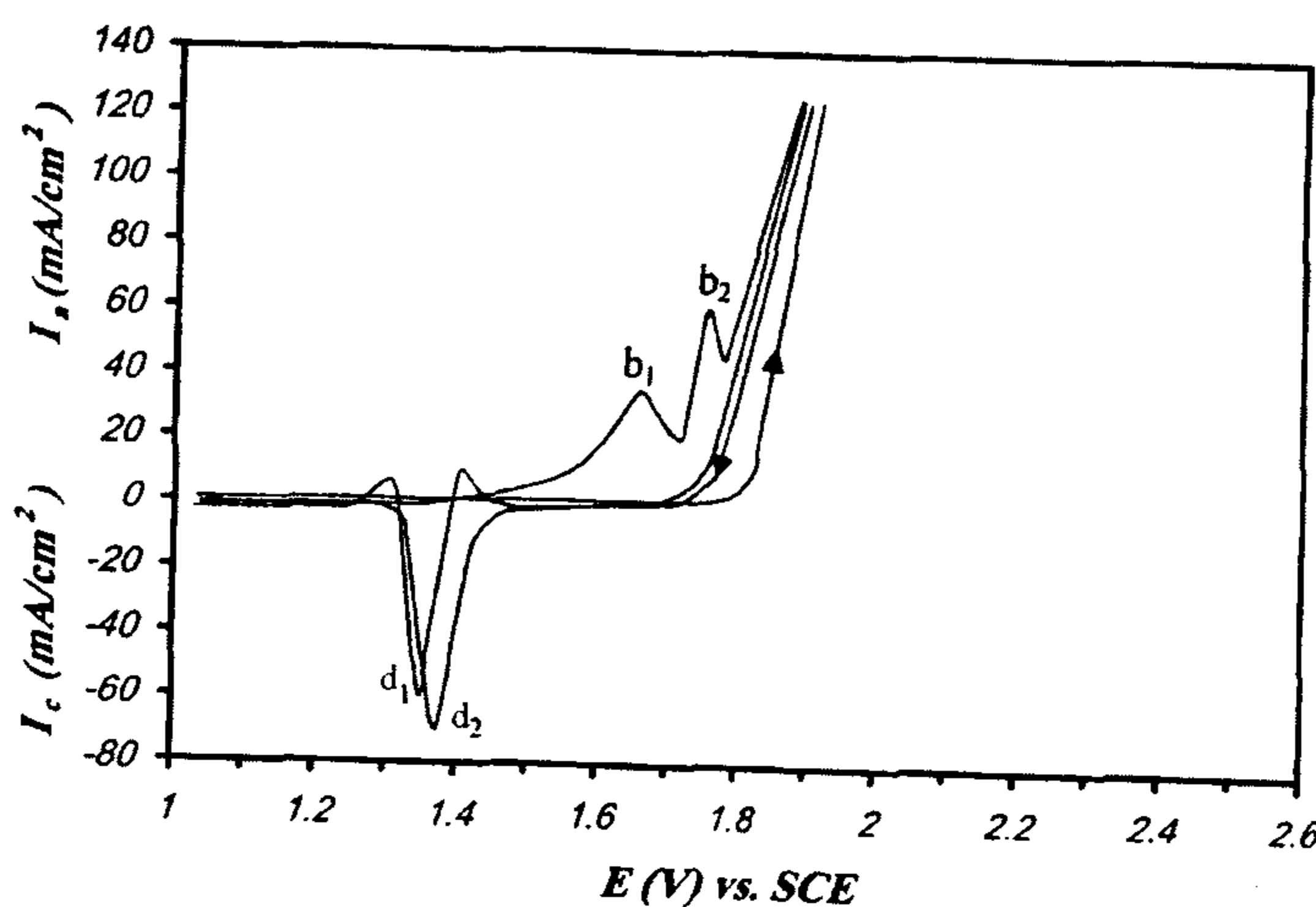
شکل ۵: ولتاگرام سیکلی (سیکل اول) از الکترود سربی در محلول $180 \text{ g/l H}_2\text{SO}_4$ ، محدوده پتانسیل اعمالی ۱۳۰۰-۲۶۰۰ میلی ولت و نرخ روبش پتانسیل 10 mV/s .

جدول ۱: ترکیب فازی رسوبات تشکیل شده بر روی سطح الکترود سربی در محدوده های متفاوت پتانسیل اعمالی.

ردیف	و پتانسیل های آنالوگیه مربوط به پیک بالاتر	C و a ناحیه بین پیک های
۱	PbO_2 فاز اصلی	PbSO_4 فاز اصلی
۲	PbO به مقدار کم	$\text{PbSO}_4 \cdot 4\text{H}_2\text{O}$ به مقدار کم
۳	$3\text{PbO} \cdot \text{PbSO}_4 \cdot \text{H}_2\text{O}$ ناچیز	$\text{PbO} \cdot \text{PbSO}_4$ ناچیز
۴	$\text{PbO} \cdot \text{H}_2\text{O}$ نامحسوس	$\text{PbO} \cdot \text{H}_2\text{O}$ نامحسوس

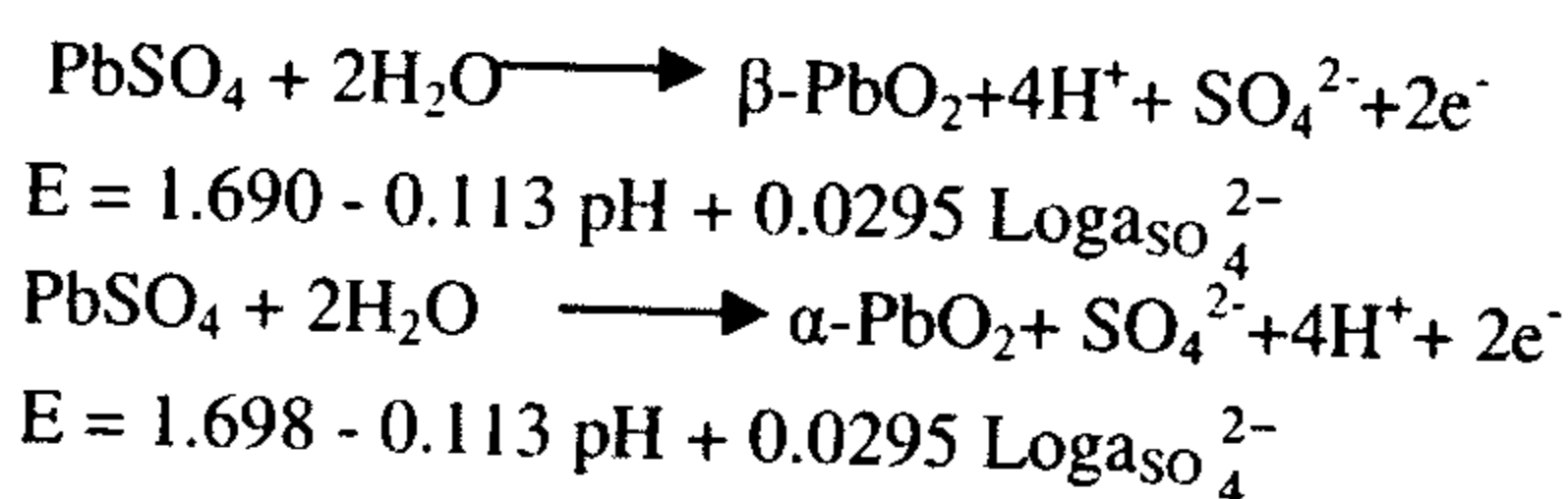


شکل ۶: ولتاگرام سیکلی (سیکل های اول) از الکترود سربی در محلول $180 \text{ g/l H}_2\text{SO}_4$ ، $[\text{Co}^{2+}] = 100 \text{ ppm}$ و محدوده پتانسیل اعمالی ۱۳۰۰-۲۶۰۰ میلی ولت؛ ۱- نرخ روبش پتانسیل 10 mV/s ، ۲- نرخ روبش پتانسیل 1 mV/s (فقط ناحیه دومین پیک اکسیداسیون نمایش داده شده است).



شکل ۷: ولتاگرام سیکلی (سیکل اول و پنجم) از الکترود سربی در محلول H_2SO_4 ۱۸۰ g/l و Co^{2+} [] = ۱۰۰ ppm محدوده پتانسیل اعمالی ۱۳۰۰ - الی ۲۶۰۰ میلی ولت و نرخ روبش پتانسیل 10 mV/s ، سیکل پنجم - محدوده پتانسیل اعمالی ۱۰۰۰ الی ۲۰۰۰ میلی ولت و نرخ روبش پتانسیل برابر 0.5 mV/s .

سیکل پنجم قبل از شروع واکنش تجزیه آب ظاهر می‌گردد. پیکهای اخیر به شدت نسبت به نرخ روبش پتانسیل حساس می‌باشند. بطوریکه در سرعت روبش 0.5 mV/s بترتیب در پتانسیل‌های ۱۶۵۰، ۱۷۸۰ میلی ولت آشکار می‌شوند، ولی چنانچه سرعت روبش پتانسیل به 0.3 mV/s کاهش یابد پیکهای فوق به ترتیب در پتانسیل‌های ۱۵۴۰ و ۱۶۳۰ میلی ولت ظاهر می‌گردد. مضافاً اینکه با تکرار بیشتر سیکل‌ها شدت (ارتفاع) پیک b_2 افزایش یافته و از شدت پیک b_1 کاسته می‌شود. پیکهای مذکور را می‌توان به تشکیل اکسیدهای سرب IV (PbO_2) نسبت داد. با توجه به اینکه پتانسیل‌های برگشت پذیر الکترودهای $\text{PbSO}_4/\beta\text{-PbO}_2$ و $\text{PbSO}_4/\alpha\text{-PbO}_2$ مطابق روابط زیر فقط هشت میلی ولت با یکدیگر اختلاف دارند^[۵].



بنابراین می‌توان گفت که پیکهای مشخصه این واکنش‌های اکسیداسیون زمانی از هم قابل تفکیک خواهند بود که سرعت فرآیندهای اکسیداسیون - احیا

دانسیته جریان آندی و متناسب با آن سرعت واکنش تجزیه آب افزایش می‌یابد. این تأثیر نشان‌دهنده خواص الکتروکاتالیتیکی و هدایت الکتریکی بالای فیلم اکسید موجود در سطح الکترود می‌باشد.

بدلیل همزمانی شروع واکنش تجزیه آب با دومین مرحله از فرآیند اکسیداسیون سرب، و تشکیل اکسیدهای سرب IV، تحت سرعت روبش 10 mV/s پیکهای مربوط به فرآیندهای اکسیداسیونی مذکور قابل تفکیک نمی‌باشند. ولی چنانچه ولتاگرام با نرخ روبش پایین پتانسیل (1 mV/s) رسم شود(شکل ۶) یک اتحنا در دومین پیک اکسیداسیون (b) آشکار می‌شود که می‌توان آنرا به تشکیل اکسیدهای سرب IV نسبت داد. چرا که با کاهش بیشتر نرخ روبش پتانسیل (0.5 mV/s) و در سیکل‌های روبش بالاتر از چهار می‌توان پیکهای مربوط به فرآیندهای اکسیداسیون تشکیل اکسیدهای سرب IV را مشاهده شود (شکل ۷). مطابق با این ولتاگرام هنگامیکه پس از اجرای یک سیکل ولتاگرام در محدوده پتانسیل اعمالی ۱۳۰۰ - الی ۲۶۰۰ میلی ولت و برگشت به ۱۰۰۰ میلی ولت با سرعت روبش 1 mV/s ، سیکل‌های بعدی در محدوده پتانسیل اعمالی ۱۰۰۰ - ۱۰۰۰ میلی ولت تحت نرخ روبش پتانسیل برابر با 0.5 mV/s تکرار می‌شود. دو پیک اکسیداسیونی b_1 و b_2 بصورت واضح در

نشان دهنده فعالیت الکتروکاتالیتیکی بیشتر سطح الکترود می‌باشد که با توجه به پیک C کاملاً توجیه پذیر است. پیک C (اولین پیک احیا) که در پتانسیل منفی‌تر از ۱۴۰۰ میلی ولت ظاهر می‌شود مربوط به احیا ترکیبات اکسید سرب IV بصورت سولفات سرب II و ترکیبات غیراستوکیومتری اکسی- سولفات سرب II است. پیکهای d_1 و d_2 را نیز باید بترتیب به تشکیل سرب فلزی در اثر احیا کمپلکس‌های اکسی- سولفات سرب II و سولفات سرب II (PbSO_4) نسبت داد که در طی فرآیند پسیو شدن سطح الکترود و ایجاد گرادیان پتانسیل pH در عرض فیلم ناشی از محصولات خوردگی تشكیل می‌شوند و بالاخره در منتهی‌الیه سمت چپ ولتاگرام احیا هیدروژن صورت می‌گیرد.

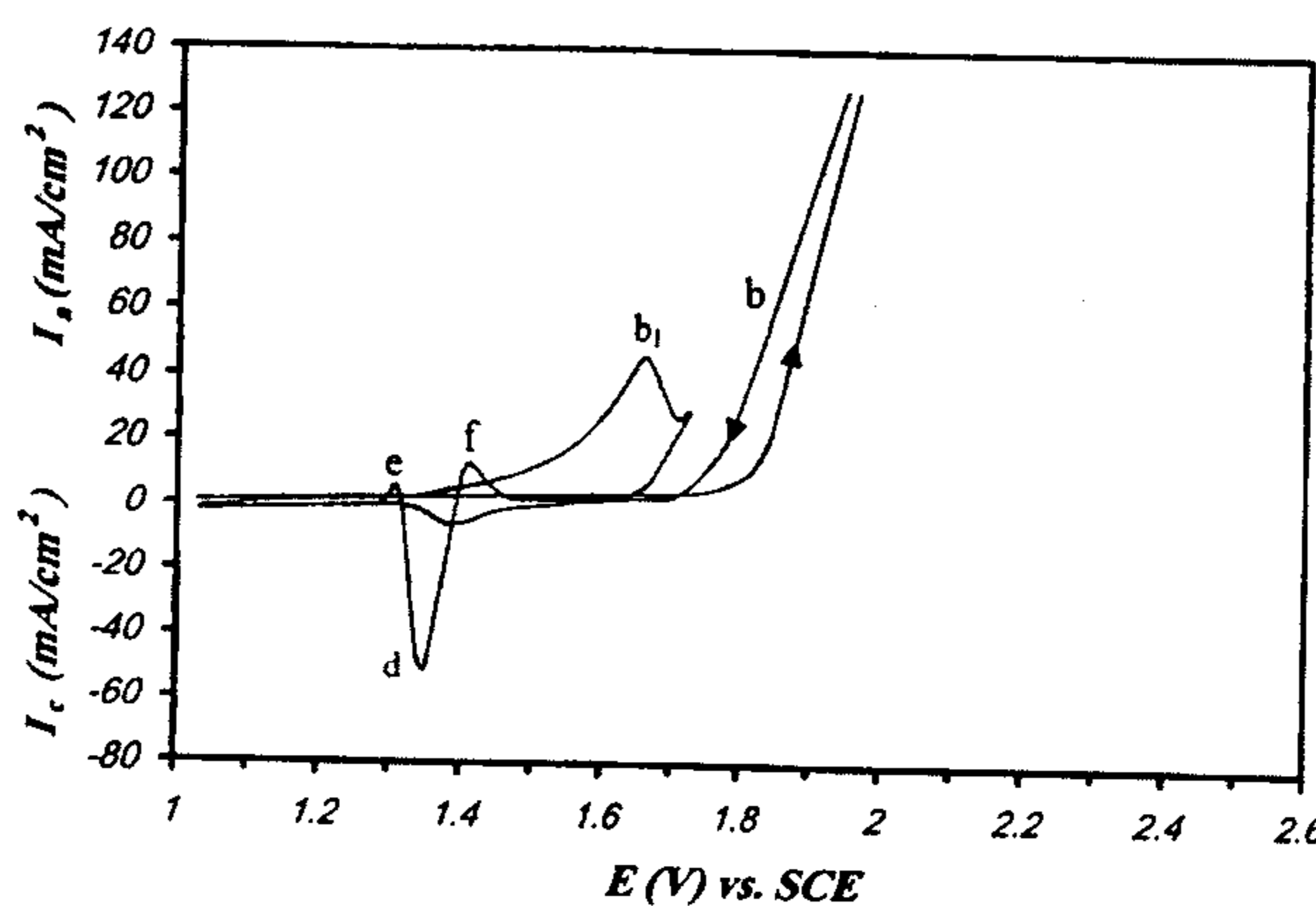
شکل (۹) نشان دهنده ولتاگرام الکترود سربی در حضور کاتیونهای کبالت با غلظت برابر 100 ppm در الکتروولیت می‌باشد. ملاحظه می‌شود که در حضور کاتیونهای کبالت اورپتانسیل واکنش تصعید اکسیژن روی سطح الکترود سربی به میزان حدود 200 mV کاهش می‌یابد و مشاهده می‌شود که در جریان سیکل برگشت روش پتانسیل، دو پیک اکسیداسیون کوچک (e,f) در دو سمت پیک احیا C ظاهر می‌گردند. پیک‌های فوق بخصوص پیک f طی روش برگشتی مربوط به سیکل اول قویتر ظاهر می‌شود و پیک e نیز با تکرار سیکل‌ها کوچکتر و نهایتاً محو می‌گردد. پیک f را می‌توان به اکسیداسیون مجدد سولفات سرب و یا کمپلکس‌های اکسی- سولفات سرب II نسبت داد که در طی روش رفت پتانسیل اعمالی اکسید نمی‌شوند و یا بعبارت دیگر در آستانه ناپایداری و احیا فیلم نازک اکسیدسرب IV امکان درمعرض الکتروولیت قرار گرفتن پیدا می‌نمایند.

در مورد پیک e، همانطور که پیش‌تر اشاره گردید، پیک C مربوط به تشکیل سولفات سرب در اثر فرآیند احیا فیلم PbO_2 روی سطح الکترود سربی می‌شود. از آنجا که رسوبات سولفات سرب متخلخل می‌باشند، تشکیل این رسوبات متخلخل منجر به در معرض محیط قرار گرفتن سرب فلزی از طریق منافذ موجود می‌گردد. بنابراین پیک e را باید با اکسیداسیون سرب فلزی در این منافذ مرتبط دانست که در سیکل‌های بعدی بدلیل ضخیم شدن لایه اکسید سطحی (محصولات خوردگی) این پیک کوچکتر و نهایتاً محو می‌گردد.

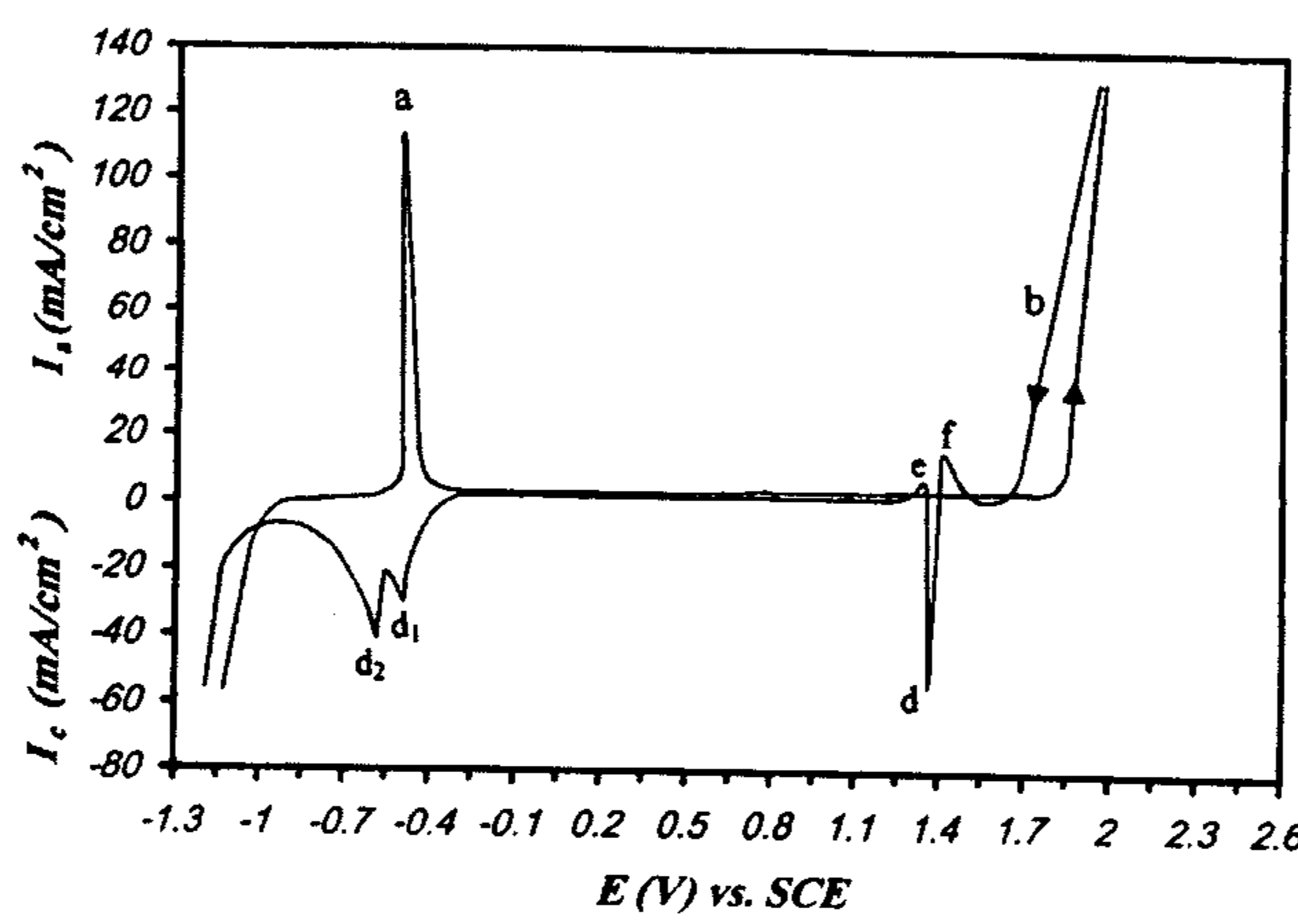
مذکور اختلاف قابل توجهی با یکدیگر داشته باشند و یا pH بصورت موضعی تغییر نماید بطوریکه منجر اختلاف بیشتر بین پتانسیل الکترودهای فوق گردد. با توجه به خاصیت نیمه تراوایی رسوب سولفات سرب و قابلیت نفوذ‌پذیری پایین این لایه نسبت به یونهای سولفات و نیز مقاومت الکتریکی بالایی رسوب سولفات و کمپلکس‌های اکسی- سولفات سرب II، این مسئله منجر به ایجاد گرادیان پتانسیل در عرض لایه‌های اکسید سطحی (محصولات خوردگی) می‌گردد. تأثیر اخیر باعث نفوذ آنیونهای اکسیژن OH^- , O^{2-} و اکسیژن اتمی (بدلیل ایجاد گرادیان غلطی) بطرف داخل سطح الکترود می‌شود که شرایط برای افزایش pH بصورت موضعی در قسمتهای داخلی فیلم ناشی از خوردگی مهیا می‌گردد. لذا این موضوع تشکیل فاز $\alpha\text{-PbO}_2$ را در پتانسیل‌های آندی بالاتر از $1/5$ ولت (نسبت به الکترود هیدروژن STP) و تفکیک قابل توجه پیکهای اکسیداسیون مربوط به $\text{PbSO}_4/\alpha\text{-PbO}_2$ و $\text{PbSO}_4/\beta\text{-PbO}_2$ توجیه‌پذیر می‌نماید. هم‌چنین مطابق شکل ۸ چنانچه حد بالای پتانسیل الکتریکی اعمالی به ناحیه بین پیکهای اکسیداسیون b₁ و b₂ محدود گردد، در این صورت طی سیکل معکوس روش پتانسیل پیک احیا C بصورت خیلی ضعیف خود را نشان می‌دهد.

با این تفسیر پیک b₁ را می‌توان به تشکیل- $\alpha\text{-PbO}_2$ از اکسیدهای بازی سرب II در زیر لایه سولفات سرب نسبت داد. نکته جالب توجه اینکه پیک b₁ در حالتی آشکار می‌گردد که حد پایین پتانسیل اعمالی به اندازه کافی برای احیا سولفات سرب کاهش نیابد. زیرا هنگامیکه سیکل روش پتانسیل از -1300 میلی ولت آغاز شود فقط پیک b₂ مربوط به سیستم الکترود $\text{PbSO}_4/\beta\text{-PbO}_2$ ظاهر می‌گردد. در این حالت می‌توان عنوان نمود که فرصت کافی برای ایجاد شرایط مساعد از نظر پتانسیل و pH در زیرلایه سولفات سرب جهت تشکیل اکسیدهای بازی سرب یا کمپلکس‌های اکسی- سولفات سرب و نهایتاً $\alpha\text{-PbO}_2$ فراهم نمی‌گردد.

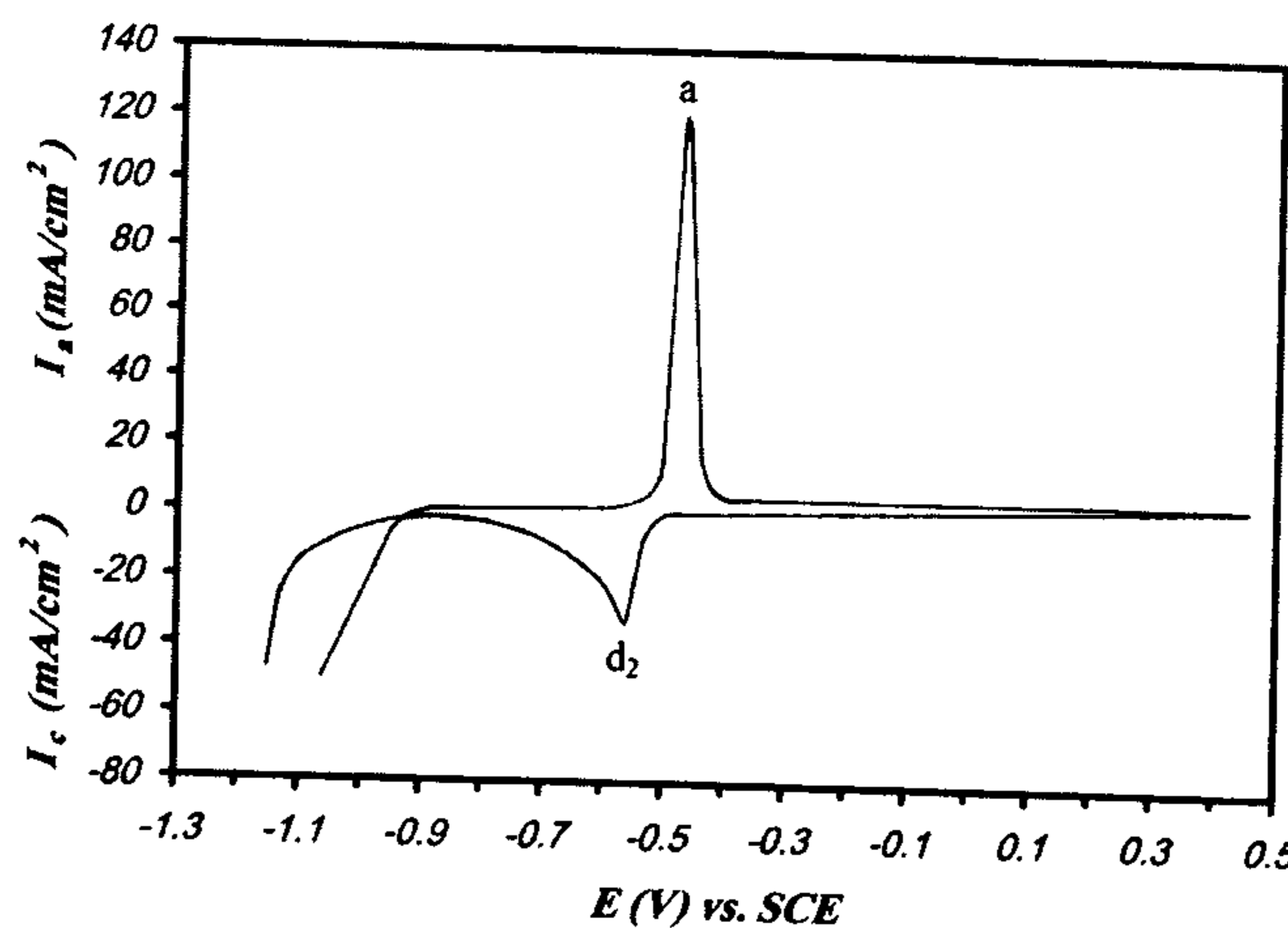
همراه با معکوس شدن روش پتانسیل ملاحظه می‌شود که منحنی برگشت در سمت چپ منحنی حالت رفت قرار می‌گیرد (شکل ۵). بعبارت دیگر در این ناحیه از ولتاگرام در یک پتانسیل آندی معین، دانسیته جریان بیشتری در حالت برگشت ملاحظه می‌شود. این تأثیر



شکل ۸: ولتاگرام سیکلی (سیکل اول و پنجم) از الکترود سربی در محلول H_2SO_4 ۱۸۰ g/l و $[\text{Co}^{2+}] = 100 \text{ ppm}$ محدوده پتانسیل اعمالی ۱۳۰۰-۲۶۰۰ میلی ولت و سرعت روبش پتانسیل ۱۰ mV/s، سیکل پنجم- محدوده پتانسیل اعمالی ۱۰۰۰-۱۷۰۰ میلی ولت و نرخ روبش پتانسیل برابر ۰.۵ mV/s.

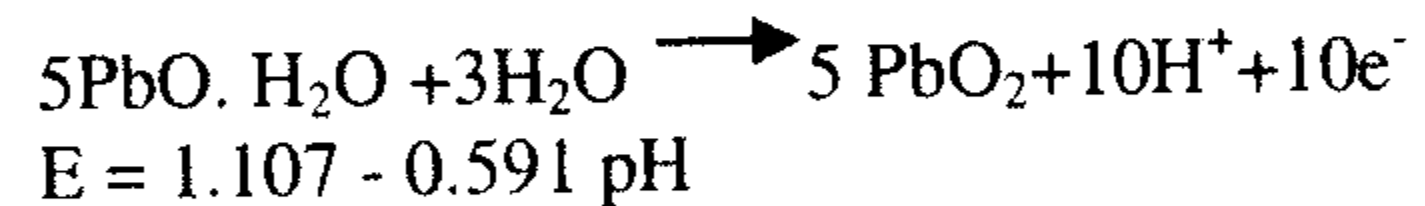
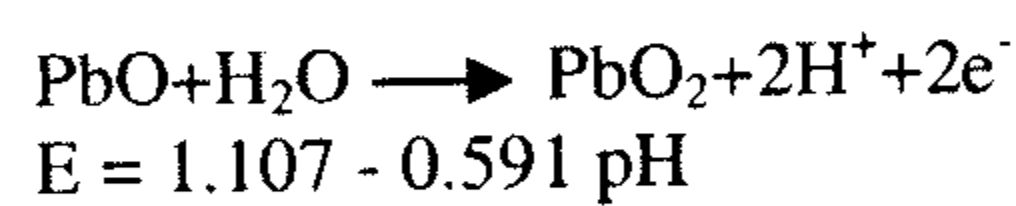
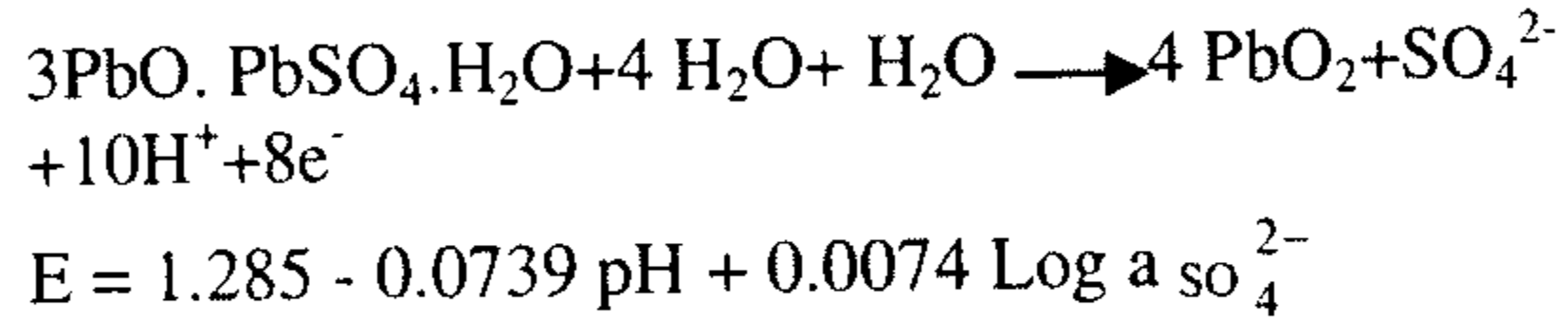
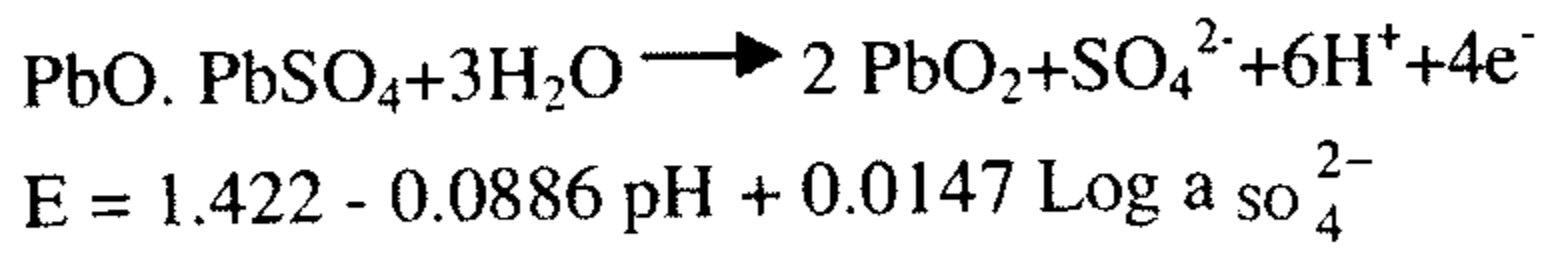


شکل ۹: ولتاگرام سیکلی (سیکل اول) از الکترود سربی در محلول H_2SO_4 ۱۸۰ g/l و $[\text{Co}^{2+}] = 100 \text{ ppm}$ محدوده پتانسیل اعمالی ۱۳۰۰-۲۶۰۰ میلی ولت و نرخ روبش پتانسیل ۱۰ mV/s.



شکل ۱۰: ولتاگرام سیکلی (سیکل اول) از الکترود سربی در محلول H_2SO_4 ۱۸۰ g/l و $[\text{Co}^{2+}] = 100 \text{ ppm}$ محدوده پتانسیل اعمالی ۱۳۰۰-۱۳۵۰ میلی ولت و سرعت روبش پتانسیل ۱۰ mV/s.

$n\text{-PbO} - \text{PbSO}_4$ سولفات‌های بازی سرب به صورت PbO_n فراهم می‌شود که مقدار n به سمت داخل سطح الکترود و نیز با منفی‌تر شدن پتانسیل افزایش پیدا می‌کند. پتانسیلی که در آن $\alpha\text{-PbO}_2$ احیا می‌گردد. مطابق روابط زیر از حدود $1/422V$ (نسبت به الکترود مرجع هیدروژن) برای $n=1$ شروع شده و تا مقادیر کمتر ادامه می‌یابد [۵].



بنابراین می‌توان چنین نتیجه گرفت که تشکیل سولفات‌های بازی سرب در یک فاصله زمانی کوتاه می‌تواند صورت پذیرند. سپس بدبانی افزایش pH محیط، PbO_2 بصورت PbO و دیگر ترکیبات هیدراته سرب II احیا می‌گردد. در واقع بدلیل نزدیک بودن پتانسیل‌های احیا $\alpha\text{-PbO}_2$ و $\beta\text{-PbO}_2$ و نیز مقدار کم رسوب سولفات‌های بازی سرب، پیک مشخصه احیا مربوط به فاز $\alpha\text{-PbO}_2$ سیکل‌های ابتدایی در ولتاگرام ظاهر نمی‌شود.

نتیجه‌گیری

۱- فیلم نازک $\beta\text{-PbO}_2$ که در پتانسیل آندی بالاتر از $1/4$ ولت (نسبت به الکترود مرجع کالومل) تحت شرایط عملیاتی الکترووینینگ روی سطح الکترود سربی تشکیل می‌شود از قابلیت هدایت الکتریکی بالا، فشرده‌گی و چسبندگی مناسبی برخوردار می‌باشد. بطوریکه عامل اصلی محافظت الکترود در برابر اکسیداسیون و خوردگی محسوب می‌شود.

۲- سینیتیک فرآیند اکسیداسیون منجر به تشکیل فیلم محافظ اکسید سرب IV (PbO_2) بر روی سطح الکترود آند سربی نسبت به سرعت فرآیند تخریب (احیا) فیلم مذکور از سرعت بسیار پایین‌تری برخوردار می‌باشد.

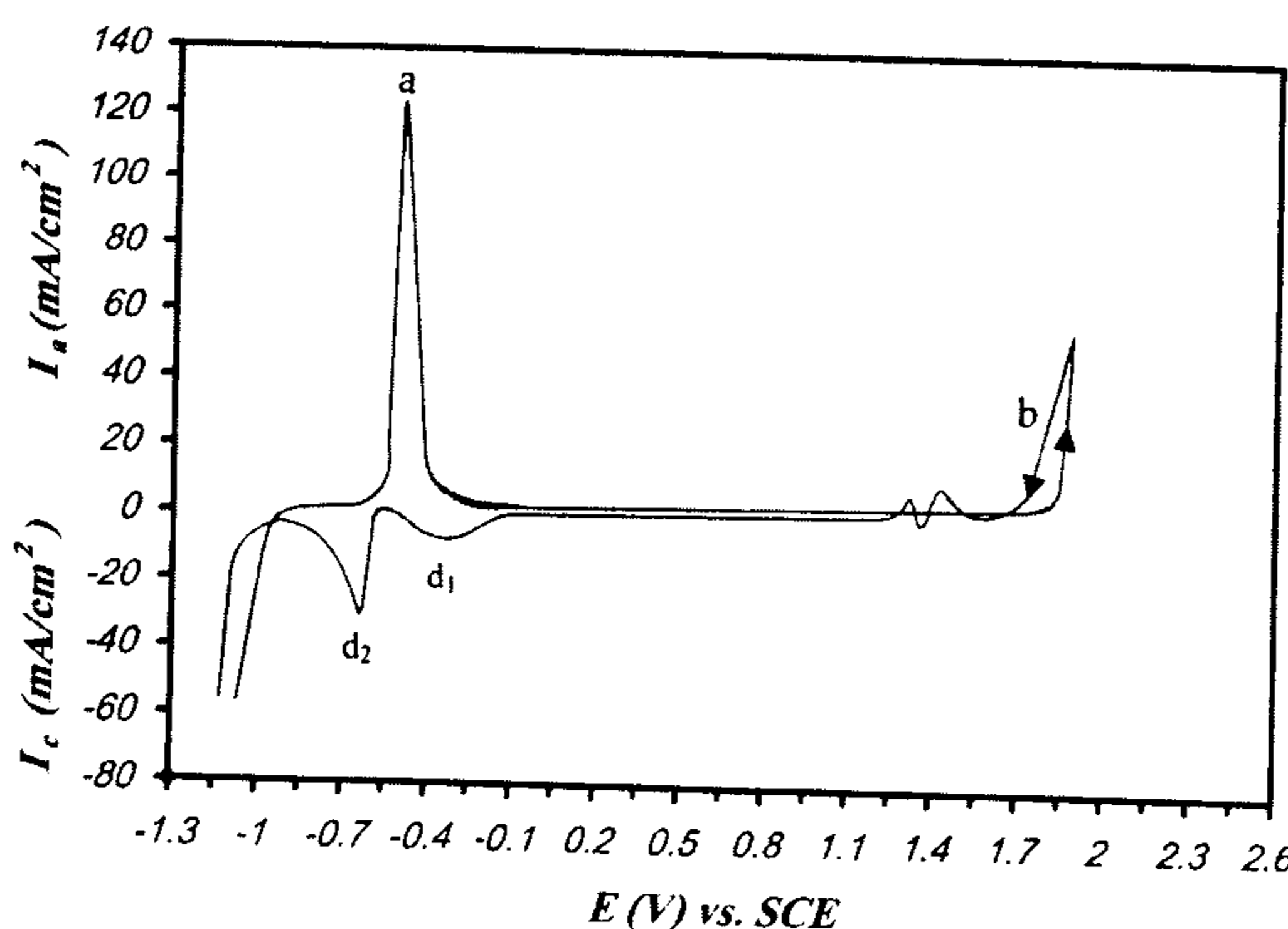
۳- حضور کاتیون‌های کبالت (Co^{2+}) در الکترولیت و اکسیداسیون آنها در مجاورت سطح الکترود آند تحت

نکته حائز اهمیت اینکه ولتاگرام‌ها از قابلیت تکرارپذیری بالایی برخوردار می‌باشند، هر چند که نسبت به حد بالا و پایین پتانسیل اعمالی و نیز تغییر سرعت روش حساسیت نشان می‌دهند. بطوریکه در شکل (۱۰) مشاهده می‌گردد، هنگامیکه در جریان رسم ولتاگرام حد بالایی پتانسیل اعمالی به 500 میلی ولت محدود گردد در جریان روش معکوس پتانسیل اعمالی پیک احیا a ظاهر نمی‌شود. از عدم ظهر این پیک می‌توان چنین استنباط نمود که در این محدوده از پتانسیل اعمالی و سرعت روش، ترکیباتی نظیر کمپلکس‌های اکسی- سولفات سرب II فرصت تشکیل نمی‌یابند و یا به احتمال قویتر مقدار آنها از نظر کمی برای ظهر پیک مشخصه کافی نمی‌باشد. همچنین زمانیکه حد بالای پتانسیل اعمالی در 1900 میلی ولت محدود گردد، ملاحظه می‌شود (شکل ۱۱) که تحت نرخ روش پتانسیل برابر 10mV/s پیک احیا c آشکار نمی‌گردد. ولی چنانچه پس از رسیدن به سطح پتانسیل 1900 میلی ولت، اعمال پتانسیل در این سطح به مدت چند دقیقه ادامه یابد و سپس روش معکوس صورت گیرد، پیک احیا c مجدداً نمایان می‌گردد.

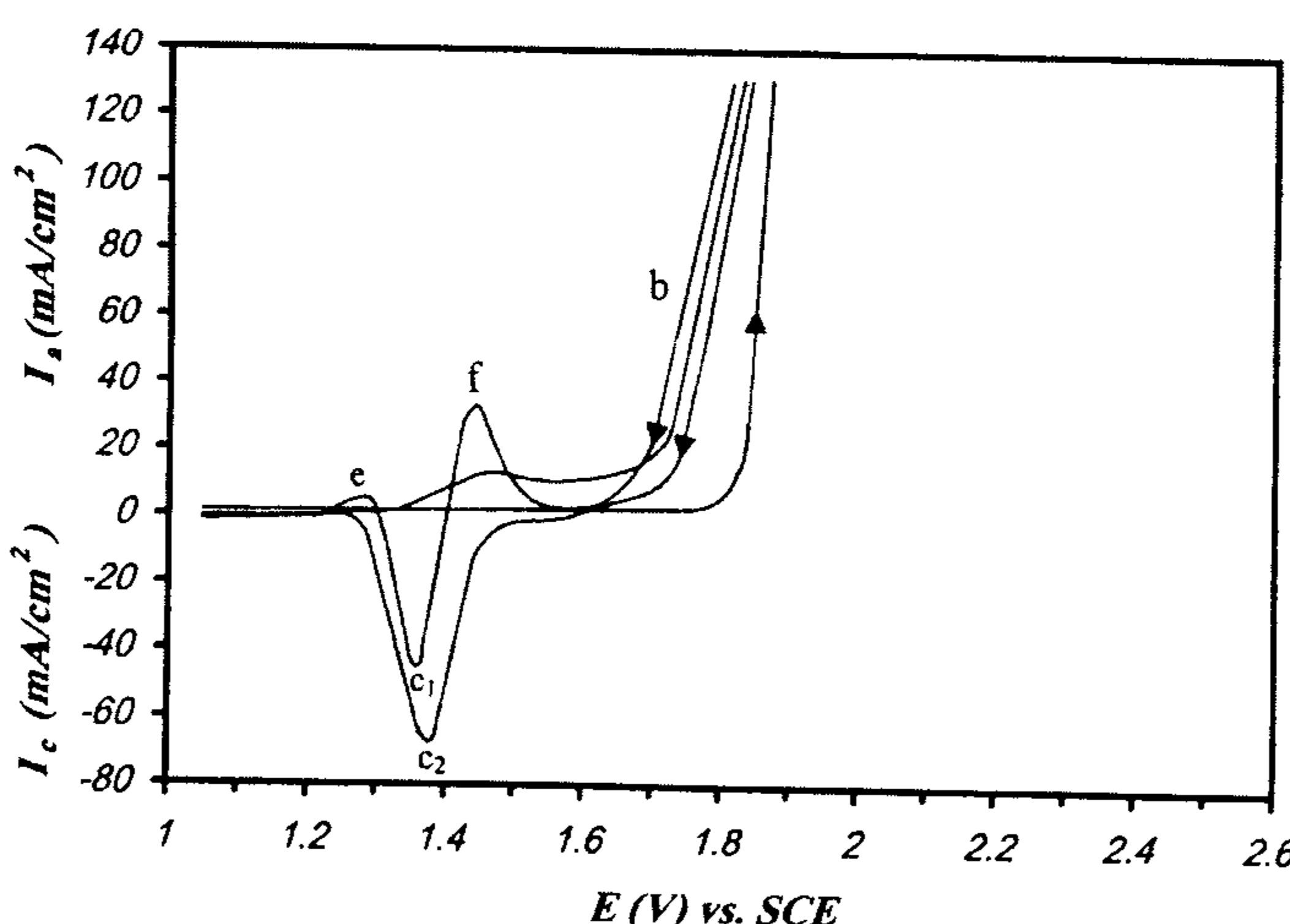
بهر صورت این رفتار نشان دهنده کند بودن سینیتیک فرآیند اکسیداسیون منجر به تشکیل اکسید سرب IV می‌باشد. تأیید دیگر این مطلب تکرار آزمایش در نرخ پایین روش پتانسیل اعمالی می‌باشد. بطوریکه با کاهش سرعت روش پتانسیل پیکهای b و c (پتانسیل فرآیندهای اکسیداسیون - احیا مربوط به یک سیستم الکترودی) به یکدیگر نزدیک می‌شوند. همچنین مطابق شکل (۱۲) با افزایش حد بالای پتانسیل اعمالی در ولتاگرام بر شدت (ارتفاع) پیک c اضافه می‌شود، ولی پیک احیا c نسبت به پیک اکسیداسیون b کمتر تحت تأثیر سرعت روش پتانسیل جابجا می‌گردد. در مجموع می‌توان پیکهای b₂ و c را به فرآیند اکسیداسیون- احیا سیستم الکترودی $\text{PbSO}_4/\beta\text{-PbO}_2$ نسبت داد و چنین استدلال نمود که فرآیند احیا $\beta\text{-PbO}_2$ از فصل مشترک الکترود- الکترولیت شروع می‌شود و به تدریج به سمت داخل سطح الکترود پیش می‌رود. همزمان با این فعل و انفعالات بخشی از فاز $\alpha\text{-PbO}_2$ نیز بصورت سولفات سرب احیا می‌گردد. با تشکیل لایه سولفات سرب بر روی سطح الکترود و ممانعت از نفوذ یون‌های سولفات به بخش‌های داخلی فیلم اکسیدی، شرایط برای تشکیل

الکتروکاتالیتیکی فیلم سطحی نیز می‌گردد، بطوریکه در غلظت $\text{Co}^{2+} = 100 \text{ ppm}$ اورپتانسیل واکنش تجزیه آب به میزان بیش از ۲۰۰ میلیولت کاهش می‌یابد.

شرایط عملیاتی اعمال دانسیته جریان آندی منجر به تشکیل ترکیبات بین فلزی محتوی Co^{3+} روی سطح الکترود می‌شود. این ترکیبات اینترمتالیک ضمن افزایش هدایت الکتریکی الکترود باعث بهبود خواص



شکل ۱۱: ولتاگرام سیکلی (سیکل اول) از الکترود سربی در محلول $\text{H}_2\text{SO}_4 = 180 \text{ g/l}$ و $\text{Co}^{2+} = 100 \text{ ppm}$ پتانسیل اعمالی ۱۳۰۰-۱۹۰۰ میلیولت و نرخ روبش پتانسیل 10 mv/s .



شکل ۱۲: ولتاگرام سیکلی (سیکل اول و دوم) از الکترود سربی در محلول $\text{H}_2\text{SO}_4 = 180 \text{ g/l}$ و $\text{Co}^{2+} = 100 \text{ ppm}$ محدوده پتانسیل اعمالی ۱۳۰۰-۲۱۰۰ میلیولت و نرخ روبش پتانسیل 10 mv/s ، سیکل دوم - محدوده پتانسیل اعمالی ۱۰۰۰-۲۵۰۰ میلیولت و نرخ روبش پتانسیل برابر 10 mv/s .

مراجع

- Prengaman, R. D. and Siegmund, A. (2000). "New Wrought Pb-Ag-Ca Anodes for Zinc Electrowinning to Produce a Protective Oxide Coating Rapidly." *Lead-Zinc 2000, Symposium as Held at The TMS Fall Extraction and Process Metallurgy Meeting*, Pittsburgh. PA.USA, PP.589-597.

-
- 2 - Tvanov, T., Stefanov, Y., Noncheva, Z., Petrova, M., Dobrev, Ts., Mikora, L., Vermeersch, R. and Demaerel, J. P. (2000). *Insoluble Anodes used in Hydrometallurgy*, Vol.57, PP.109-124.
- 3 - David Prengamana, R. "New insoluble lead anode for cooper electrowinning." *Hydrometallurgy of Cooper*, Vol. 95, PP.287.
- 4 - Cifuentes, G., Cifuentes, L. and Crisostome, G. (1998). "A lead-acid battery analogue to in situ anode degradation in cooper electrometallurgy." *Corros, Sci.*, Vol. 40, PP. 225.
- 5 – Ruetshi, P. and Angstadt, R. T. (1974). "Anode oxidation of lead at constant potential." *Journal of the Electrochemical Society*, Vol. 111, No. 129, PP. 1323.
- 6 - PuYu and Thomas, J. O, Keefe, (1999). "Evaluation of lead anode reactions in acid sulfate electrolytes." *Journal of the Electrochemical Society*, Vol. 146, No. 4, PP.1361.
- 7 - Ruetshi, P. (1973). "Ion selectivity and diffusion potential corrosion layers." *Journal of the Electrochemical Science and Technology*. PP. 331.
- 8 – Pavlor, D., Pouleiff, . C. N. and Klaja, E. "Dependence of the composition of the anodic layer on the oxidation potential of lead in sulfuric acid." *J. Electrochemi. Soc.*, Vol. 116, No 3, PP. 317.

